

Reconstruction d'objets convexes à partir de photographies

Présentation de **Lucie-Hélène Cuingnet**

Travail réalisé avec **Barnabé Baruchel**

TIPE 2025

2025-05-18

Reconstruction 3D

Reconstruction d'objets convexes à partir de photographies

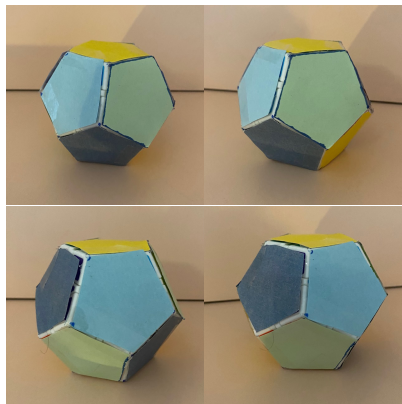
Présentation de **Lucie-Hélène Cuingnet**

Travail réalisé avec **Barnabé Baruchel**

TIPE 2025

Pour ce TIPE je suis me suis donnée pour objectif de comprendre et surtout expérimenter comment on peut, à partir de simple photo, retrouver la géométrie complète d'un objet.

Définition du problème



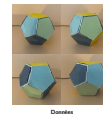
Données

2025-05-18

Reconstruction 3D

└ Définition du problème

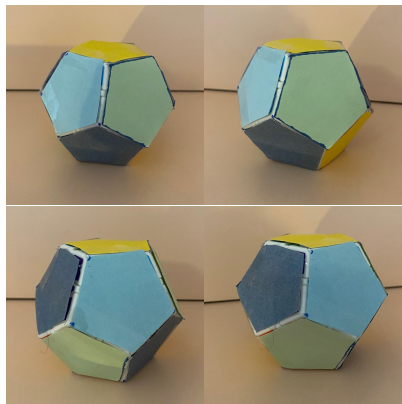
Définition du problème



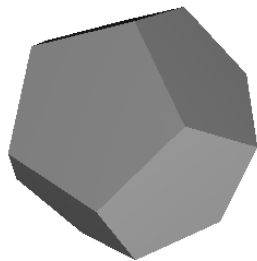
Données

Ainsi, à partir d'un jeu de photo qui constituera mes données je souhaite reconstruire un fichier 3D de ce dernier prêt pour une impression 3D.

Définition du problème



Données



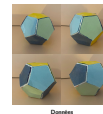
Objectif

2025-05-18

Reconstruction 3D

└ Définition du problème

Définition du problème

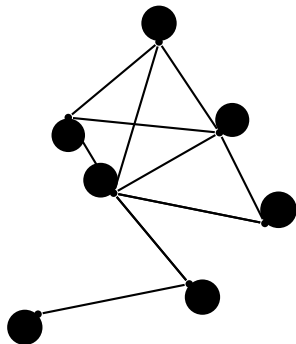


Ainsi, à partir d'un jeu de photo qui constituera mes données je souhaite reconstruire un fichier 3D de ce dernier prêt pour une impression 3D.

1. Triangulation

2. Analyse des résultats

Triangulation



Exemple de triangulation d'un ensemble de points en 2D.

2025-05-18

Reconstruction 3D

└ Triangulation

└ Triangulation

Triangulation



Exemple de triangulation d'un ensemble de points en 2D.

la dernière étape consiste à effectuer une triangulation des points

1. Triangulation

2. Analyse des résultats

Quelques exemples
Critiques

Titre d'une slide avant la sous-section

Ici, on n'a pas encore de titre de sous-section dans le bandeau du haut.

2025-05-18

Reconstruction 3D

└─ Analyse des résultats

└─ Titre d'une slide avant la sous-section

Titre d'une slide avant la sous-section

Ici, on n'a pas encore de titre de sous-section dans le bandeau du haut.

Aspect pratique

Ici, on a un titre de sous-section, contrairement à la slide.

Voir le code ici pour référencer une slide avec et la citer avec son numéro via .

2025-05-18

Reconstruction 3D

└ Analyse des résultats

└└ Quelques exemples

└└└ Aspect pratique

Ici, on a un titre de sous-section, contrairement à la slide.

Voir le code ici pour référencer une slide avec et la citer avec son numéro via .

Titre sans lettre descendant sous la baseline

Ici c'est mieux, non ?

2025-05-18

Reconstruction 3D

└ Analyse des résultats

└ Critiques

└ Titre sans lettre descendant sous la baseline

Titre sans lettre descendant sous la baseline

Ici c'est mieux, non ?

Appendix]Appendix

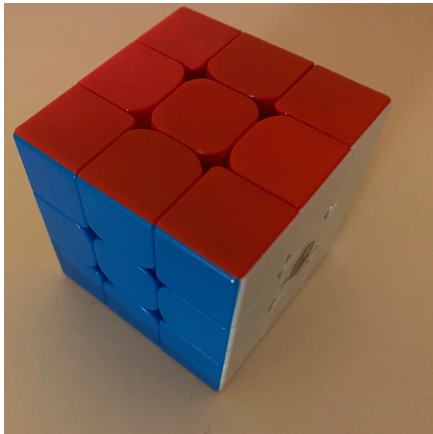
2025-05-18

- Reconstruction 3D
 - └ Analyse des résultats
 - └ Critiques
 - └ Titre sans lettre descendant sous la baseline

Titre sans lettre descendant sous la baseline

Ici c'est mieux, non ?

Exemple Moravec



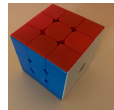
2025-05-18

Reconstruction 3D

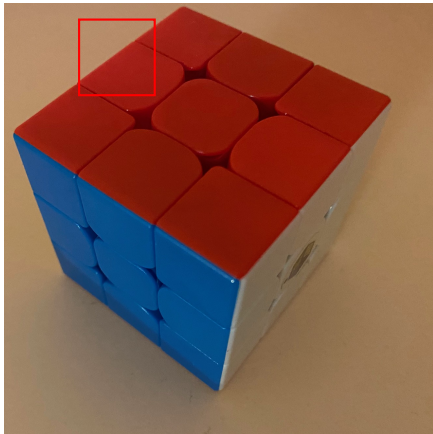
└ [

└ Exemple Moravec

Exemple Moravec



Exemple Moravec



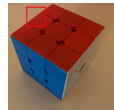
2025-05-18

Reconstruction 3D

└ [

└ Exemple Moravec

Exemple Moravec



| | | | | |
|----|----|----|----|----|
| 23 | 26 | 29 | 28 | 70 |
| 25 | 21 | 22 | 32 | 63 |
| 28 | 24 | 23 | 65 | 65 |
| 63 | 66 | 64 | 64 | 68 |
| 73 | 74 | 77 | 69 | 69 |

$$w = 2$$

2025-05-18

Reconstruction 3D



| | | | | |
|----|----|----|----|----|
| 23 | 26 | 29 | 28 | 70 |
| 25 | 21 | 22 | 32 | 63 |
| 28 | 24 | 23 | 65 | 65 |
| 63 | 66 | 64 | 64 | 68 |
| 73 | 74 | 77 | 69 | 69 |

w = 2

Voici une animation de l'évolution de la détection avec l'algorithme de Moravec.

On visualise étape par étape comment les coins apparaissent au fur et à mesure.

Ce genre de visualisation aide à comprendre la sensibilité de l'algorithme selon l'image et les paramètres.

| | | | | |
|----|----|----|----|----|
| 23 | 26 | 29 | 28 | 70 |
| 25 | 21 | 22 | 32 | 63 |
| 28 | 24 | 23 | 65 | 65 |
| 63 | 66 | 64 | 64 | 68 |
| 73 | 74 | 77 | 69 | 69 |

$$w = 2$$

direction horizontal

$$dx = 1, dy = 0$$

pixel considéré

pixel comparé

$$i = -2$$

$$S = 28 \quad S^2 = 784$$

2025-05-18

Reconstruction 3D



| | | | | |
|----|----|----|----|----|
| 23 | 26 | 29 | 28 | 70 |
| 25 | 21 | 22 | 32 | 63 |
| 28 | 24 | 23 | 65 | 65 |
| 63 | 66 | 64 | 64 | 68 |
| 73 | 74 | 77 | 69 | 69 |

$w = 2$
 direction horizontal
 $dx = 1, dy = 0$
 pixel considéré
 pixel comparé
 $i = -2$
 $S = 28 \quad S^2 = 784$

Voici une animation de l'évolution de la détection avec l'algorithme de Moravec.

On visualise étape par étape comment les coins apparaissent au fur et à mesure.

Ce genre de visualisation aide à comprendre la sensibilité de l'algorithme selon l'image et les paramètres.

| | | | | |
|----|----|----|----|----|
| 23 | 26 | 29 | 28 | 70 |
| 25 | 21 | 22 | 32 | 63 |
| 28 | 24 | 23 | 65 | 65 |
| 63 | 66 | 64 | 64 | 68 |
| 73 | 74 | 77 | 69 | 69 |

$$w = 2$$

direction horizontal

$$dx = 1, dy = 0$$

pixel considéré

pixel comparé

$$i = -1$$

$$S = 52 \quad S^2 = 1248$$

2025-05-18

Reconstruction 3D



| | | | | |
|----|----|----|----|----|
| 23 | 26 | 29 | 28 | 70 |
| 25 | 21 | 22 | 32 | 63 |
| 28 | 24 | 23 | 65 | 65 |
| 63 | 66 | 64 | 64 | 68 |
| 73 | 74 | 77 | 69 | 69 |

$w = 2$
 direction horizontal
 $dx = 1, dy = 0$
 pixel considéré
 pixel comparé
 $i = -1$
 $S = 52 \quad S^2 = 1248$

Voici une animation de l'évolution de la détection avec l'algorithme de Moravec.

On visualise étape par étape comment les coins apparaissent au fur et à mesure.

Ce genre de visualisation aide à comprendre la sensibilité de l'algorithme selon l'image et les paramètres.

| | | | | |
|----|----|----|----|----|
| 23 | 26 | 29 | 28 | 70 |
| 25 | 21 | 22 | 32 | 63 |
| 28 | 24 | 23 | 65 | 65 |
| 63 | 66 | 64 | 64 | 68 |
| 73 | 74 | 77 | 69 | 69 |

$$w = 2$$

direction horizontal

$$dx = 1, dy = 0$$

pixel considéré

pixel comparé

$$i = 2$$

$$S = 205 \quad S^2 = 10339$$

$$\text{Var}(1, 0) = 386.8$$

2025-05-18

Reconstruction 3D



| | | | | |
|----|----|----|----|----|
| 23 | 26 | 29 | 28 | 70 |
| 25 | 21 | 22 | 32 | 63 |
| 28 | 24 | 23 | 65 | 65 |
| 63 | 66 | 64 | 64 | 68 |
| 73 | 74 | 77 | 69 | 69 |

$w = 2$
 direction horizontal
 $dx = 1, dy = 0$
 pixel considéré
 pixel comparé
 $i = 2$
 $S = 205 \quad S^2 = 10339$
 $\text{Var}(1, 0) = 386.8$

Voici une animation de l'évolution de la détection avec l'algorithme de Moravec.

On visualise étape par étape comment les coins apparaissent au fur et à mesure.

Ce genre de visualisation aide à comprendre la sensibilité de l'algorithme selon l'image et les paramètres.

| | | | | |
|----|----|----|----|----|
| 23 | 26 | 29 | 28 | 70 |
| 25 | 21 | 22 | 32 | 63 |
| 28 | 24 | 23 | 65 | 65 |
| 63 | 66 | 64 | 64 | 68 |
| 73 | 74 | 77 | 69 | 69 |

$$w = 2$$

$$T = 300$$

$$\text{Var}(1,0)=386.8$$

$$\text{Var}(0,1)=526.8$$

$$\text{Var}(1,1)=439.7$$

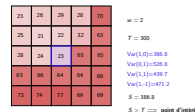
$$\text{Var}(1,-1)=471.2$$

$$S = 386.8$$

$$S > T \implies \text{point d'intérêt}$$

2025-05-18

Reconstruction 3D



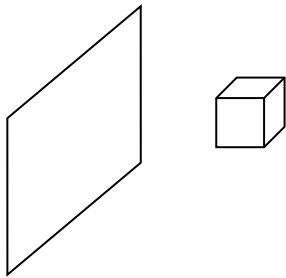
Voici une animation de l'évolution de la détection avec l'algorithme de Moravec.

On visualise étape par étape comment les coins apparaissent au fur et à mesure.

Ce genre de visualisation aide à comprendre la sensibilité de l'algorithme selon l'image et les paramètres.

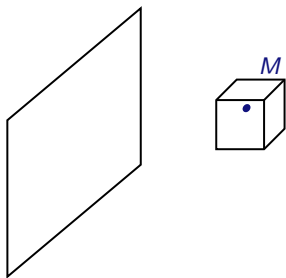
Voir le schéma détaillé

Les différents repères



Les différents repères

► M : point réel



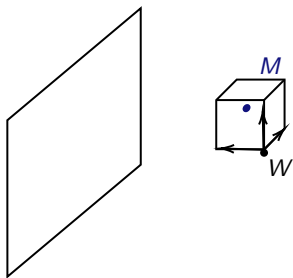
2025-05-18

Reconstruction 3D

└─ Les différents repères

► M : point réel

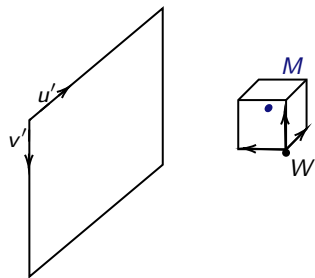
Les différents repères



- ▶ M : point réel
- ▶ W : origine du repère du monde



Les différents repères

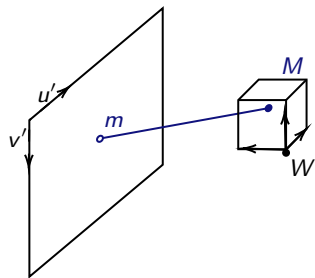


- M : point réel
- W : origine du repère du monde
- (u', v') : coordonnées dans le plan image en pixels



- M : point réel
- W : origine du repère du monde
- (u', v') : coordonnées dans le plan image en pixels

Les différents repères

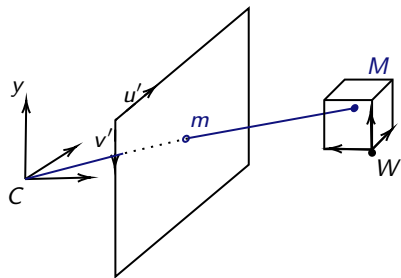


- M : point réel
- W : origine du repère du monde
- (u', v') : coordonnées dans le plan image en pixels
- m : projection de M dans le plan image



- M : point réel
- W : origine du repère du monde
- (u', v') : coordonnées dans le plan image en pixels
- m : projection de M dans le plan image

Les différents repères



- ▶ M : point réel
- ▶ W : origine du repère du monde
- ▶ (u', v') : coordonnées dans le plan image en pixels
- ▶ m : projection de M dans le plan image
- ▶ C : origine du repère de la caméra

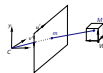
2025-05-18

Reconstruction 3D

└ [

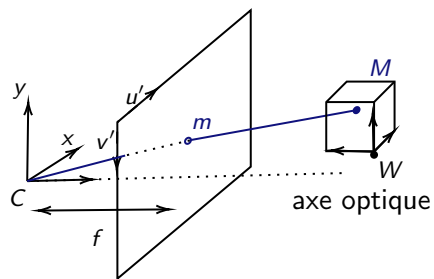
└ Les différents repères

Les différents repères



- ▶ M : point réel
- ▶ W : origine du repère du monde
- ▶ (u', v') : coordonnées dans le plan image en pixels
- ▶ m : projection de M dans le plan image
- ▶ C : origine du repère de la caméra

Les différents repères



- M : point réel
- W : origine du repère du monde
- (u', v') : coordonnées dans le plan image en pixels
- m : projection de M dans le plan image
- C : origine du repère de la caméra

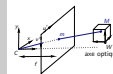
2025-05-18

Reconstruction 3D

└ [

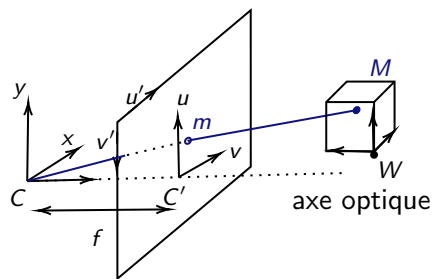
└ Les différents repères

Les différents repères

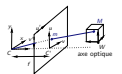


- M : point réel
- W : origine du repère du monde
- (u', v') : coordonnées dans le plan image en pixels
- m : projection de M dans le plan image
- C : origine du repère de la caméra

Les différents repères



- M : point réel
- W : origine du repère du monde
- (u', v') : coordonnées dans le plan image en pixels
- m : projection de M dans le plan image
- C : origine du repère de la caméra
- C' : origine du repère de l'image par projection de C



- M : point réel
- W : origine du repère du monde
- (u', v') : coordonnées dans le plan image en pixels
- m : projection de M dans le plan image
- C : origine du repère de la caméra
- C' : origine du repère de l'image par projection de C

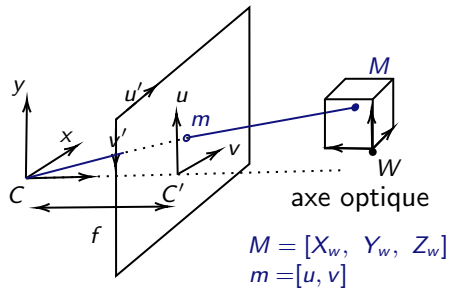
Projection d'un point 3D sur le plan image

Par le théorème de Thalès
(projection perspective)

$$u = fx_c$$

$$v = fy_c$$

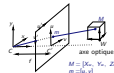
$$w = z_c$$



$$u = fx_c$$

$$v = fy_c$$

$$w = z_c$$



Projection d'un point 3D sur le plan image

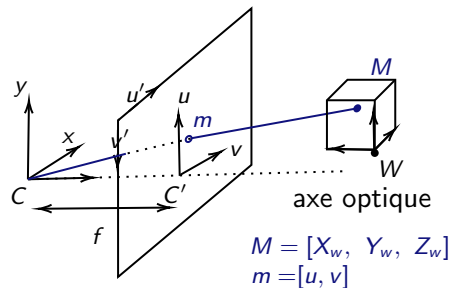
Par le théorème de Thalès
(projection perspective)

$$u = fx_c$$

$$v = fy_c$$

$$w = z_c$$

$$\begin{bmatrix} u \\ v \\ w \end{bmatrix} = \begin{bmatrix} f & 0 & 0 & 0 \\ 0 & f & 0 & 0 \\ 0 & 0 & 1 & 0 \end{bmatrix} \begin{bmatrix} x_c \\ y_c \\ z_c \\ 1 \end{bmatrix}$$



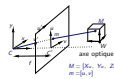
└ Projection d'un point 3D sur le plan image

$$u = fx_c$$

$$v = fy_c$$

$$w = z_c$$

$$\begin{bmatrix} u \\ v \\ w \end{bmatrix} = \begin{bmatrix} f & 0 & 0 & 0 \\ 0 & f & 0 & 0 \\ 0 & 0 & 1 & 0 \end{bmatrix} \begin{bmatrix} x_c \\ y_c \\ z_c \\ 1 \end{bmatrix}$$

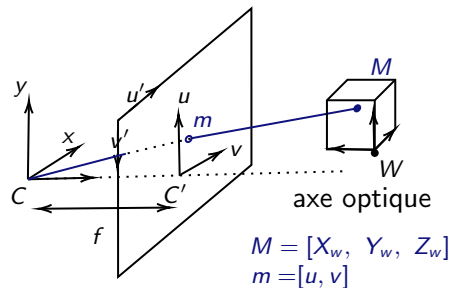


Projection d'un point 3D sur le plan image

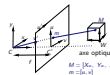
Le changement de repère s'écrit avec une transformation homogène :

$$\begin{bmatrix} x_c \\ y_c \\ z_c \\ 1 \end{bmatrix} = \begin{bmatrix} R & T \\ 0 & 1 \end{bmatrix} \begin{bmatrix} X_w \\ Y_w \\ Z_w \\ 1 \end{bmatrix}$$

Où $R \in \mathbb{R}^{3 \times 3}$ est une rotation,
 $T \in \mathbb{R}^3$ une translation.



$$\begin{bmatrix} x_c \\ y_c \\ z_c \\ 1 \end{bmatrix} = \begin{bmatrix} R & T \\ 0 & 1 \end{bmatrix} \begin{bmatrix} X_w \\ Y_w \\ Z_w \\ 1 \end{bmatrix}$$



Projection d'un point 3D sur le plan image

$$\begin{bmatrix} u \\ v \\ w \end{bmatrix} = \underbrace{\begin{bmatrix} f & 0 & 0 & 0 \\ 0 & f & 0 & 0 \\ 0 & 0 & 1 & 0 \end{bmatrix} \begin{bmatrix} R & T \\ 0 & 1 \end{bmatrix}}_{\text{chaîne de projection}} \begin{bmatrix} X_w \\ Y_w \\ Z_w \\ 1 \end{bmatrix}$$

└ Projection d'un point 3D sur le plan image

$$\begin{bmatrix} u \\ v \\ w \end{bmatrix} = \underbrace{\begin{bmatrix} f & 0 & 0 & 0 \\ 0 & f & 0 & 0 \\ 0 & 0 & 1 & 0 \end{bmatrix} \begin{bmatrix} R & T \\ 0 & 1 \end{bmatrix}}_{\text{chaîne de projection}} \begin{bmatrix} X_w \\ Y_w \\ Z_w \\ 1 \end{bmatrix}$$

Projection d'un point 3D sur le plan image

$$\begin{bmatrix} u \\ v \\ w \end{bmatrix} = \underbrace{\begin{bmatrix} f & 0 & 0 & 0 \\ 0 & f & 0 & 0 \\ 0 & 0 & 1 & 0 \end{bmatrix} \begin{bmatrix} R & T \\ 0 & 1 \end{bmatrix}}_{\text{chaîne de projection}} \begin{bmatrix} X_w \\ Y_w \\ Z_w \\ 1 \end{bmatrix}$$

$$\begin{bmatrix} u \\ v \\ w \end{bmatrix} = P \begin{bmatrix} X_w \\ Y_w \\ Z_w \\ 1 \end{bmatrix} \quad \text{avec } P \in \mathcal{M}_{3 \times 4}(\mathbb{R})$$



└ Projection d'un point 3D sur le plan image

$$\begin{bmatrix} u \\ v \\ w \end{bmatrix} = \underbrace{\begin{bmatrix} f & 0 & 0 & 0 \\ 0 & f & 0 & 0 \\ 0 & 0 & 1 & 0 \end{bmatrix} \begin{bmatrix} R & T \\ 0 & 1 \end{bmatrix}}_{\text{chaîne de projection}} \begin{bmatrix} X_w \\ Y_w \\ Z_w \\ 1 \end{bmatrix}$$

$$\begin{bmatrix} u \\ v \\ w \end{bmatrix} = P \begin{bmatrix} X_w \\ Y_w \\ Z_w \\ 1 \end{bmatrix} \quad \text{avec } P \in \mathcal{M}_{3 \times 4}(\mathbb{R})$$

Les différents repères

$$\lambda_i \begin{pmatrix} u^{(i)} \\ v^{(i)} \\ 1 \end{pmatrix} = \begin{pmatrix} p_{11} & p_{12} & p_{13} & p_{14} \\ p_{21} & p_{22} & p_{23} & p_{24} \\ p_{31} & p_{32} & p_{33} & p_{34} \end{pmatrix} \begin{pmatrix} x_C^{(i)} \\ y_C^{(i)} \\ z_C^{(i)} \\ 1 \end{pmatrix}$$



$$\lambda_i \begin{pmatrix} u^{(i)} \\ v^{(i)} \\ 1 \end{pmatrix} = \begin{pmatrix} p_{11} & p_{12} & p_{13} & p_{14} \\ p_{21} & p_{22} & p_{23} & p_{24} \\ p_{31} & p_{32} & p_{33} & p_{34} \end{pmatrix} \begin{pmatrix} x_C^{(i)} \\ y_C^{(i)} \\ z_C^{(i)} \\ 1 \end{pmatrix}$$

Système d'optimisation à contrainte unitaire

On souhaite résoudre le système en évitant la solution triviale $P = 0$.

Système d'optimisation à contrainte unitaire

On souhaite résoudre le système en évitant la solution triviale $P = 0$.
Sachant que la matrice P ne peut être déterminée qu'à un facteur près,
on peut imposer :

$$\|P\|^2 = 1$$

et reformuler le système comme un problème d'optimisation :

2025-05-18

Reconstruction 3D

└[

└─Système d'optimisation à contrainte unitaire

Système d'optimisation à contrainte unitaire

On souhaite résoudre le système en évitant la solution triviale $P = 0$.
Sachant que la matrice P ne peut être déterminée qu'à un facteur près,
on peut imposer :

$$\|P\|^2 = 1$$

et reformuler le système comme un problème d'optimisation :

Système d'optimisation à contrainte unitaire

On souhaite résoudre le système en évitant la solution triviale $P = 0$.
Sachant que la matrice P ne peut être déterminée qu'à un facteur près,
on peut imposer :

$$\|P\|^2 = 1$$

et reformuler le système comme un problème d'optimisation :

$$\min_{\|p\|^2=1} \|Ap\|^2 = \min_{\|p\|^2=1} p^T A^T A p$$

2025-05-18

Reconstruction 3D

└[

└Système d'optimisation à contrainte unitaire

Système d'optimisation à contrainte unitaire

On souhaite résoudre le système en évitant la solution triviale $P = 0$.
Sachant que la matrice P ne peut être déterminée qu'à un facteur près,
on peut imposer :

$$\|P\|^2 = 1$$

et reformuler le système comme un problème d'optimisation :

$$\min_{\|p\|^2=1} \|Ap\|^2 = \min_{\|p\|^2=1} p^T A^T A p$$

Système d'optimisation à contrainte unitaire

On souhaite résoudre le système en évitant la solution triviale $P = 0$.
Sachant que la matrice P ne peut être déterminée qu'à un facteur près,
on peut imposer :

$$\|P\|^2 = 1$$

et reformuler le système comme un problème d'optimisation :

$$\min_{\|p\|^2=1} \|Ap\|^2 = \min_{\|p\|^2=1} p^T A^T A p$$

On introduit les fonctions :

- ▶ $f(p) = p^T A^T A p$
- ▶ $g(p) = p^T p - 1$

2025-05-18

Reconstruction 3D

└[

└Système d'optimisation à contrainte unitaire

Système d'optimisation à contrainte unitaire

On souhaite résoudre le système en évitant la solution triviale $P = 0$.
Sachant que la matrice P ne peut être déterminée qu'à un facteur près,
on peut imposer :

$$\|P\|^2 = 1$$

et reformuler le système comme un problème d'optimisation :

$$\min_{\|p\|^2=1} \|Ap\|^2 = \min_{\|p\|^2=1} p^T A^T A p$$

On introduit les fonctions :

- ▶ $f(p) = p^T A^T A p$
- ▶ $g(p) = p^T p - 1$

Système d'optimisation à contrainte unitaire

On souhaite résoudre le système en évitant la solution triviale $P = 0$.
Sachant que la matrice P ne peut être déterminée qu'à un facteur près,
on peut imposer :

$$\|P\|^2 = 1$$

et reformuler le système comme un problème d'optimisation :

$$\min_{\|p\|^2=1} \|Ap\|^2 = \min_{\|p\|^2=1} p^T A^T A p$$

On introduit les fonctions :

- ▶ $f(p) = p^T A^T A p$
- ▶ $g(p) = p^T p - 1$

D'après le théorème d'optimisation sous contrainte (Lagrange), au point optimal P^* , il existe $\lambda \in \mathbb{R}$ tel que :

$$\nabla f(P^*) = \lambda \nabla g(P^*)$$

2025-05-18

Reconstruction 3D

└[

└Système d'optimisation à contrainte unitaire

Système d'optimisation à contrainte unitaire

On souhaite résoudre le système en évitant la solution triviale $P = 0$.
Sachant que la matrice P ne peut être déterminée qu'à un facteur près,
on peut imposer :

$$\|P\|^2 = 1$$

et reformuler le système comme un problème d'optimisation :

$$\min_{\|p\|^2=1} \|Ap\|^2 = \min_{\|p\|^2=1} p^T A^T A p$$

On introduit les fonctions :

$$\text{▶ } f(p) = p^T A^T A p$$

$$\text{▶ } g(p) = p^T p - 1$$

D'après le théorème d'optimisation sous contrainte (Lagrange), au point optimal P^* , il existe $\lambda \in \mathbb{R}$ tel que :

$$\nabla f(P^*) = \lambda \nabla g(P^*)$$

Lien avec les valeurs propres

Posons $M = A^T A$. Alors :

$$f(p) = \sum_{i=1}^n \sum_{j=1}^n p_i M_{ij} p_j$$

Reconstruction 3D

└ [

└ Lien avec les valeurs propres

$$f(p) = \sum_{i=1}^n \sum_{j=1}^n p_i M_{ij} p_j$$

Lien avec les valeurs propres

Posons $M = A^T A$. Alors :

$$f(p) = \sum_{i=1}^n \sum_{j=1}^n p_i M_{ij} p_j$$

Comme M est symétrique :

$$\frac{\partial f}{\partial p} = 2Mp \quad \text{et} \quad \frac{\partial g}{\partial p} = 2p$$



└─ Lien avec les valeurs propres

$$f(p) = \sum_{i=1}^n \sum_{j=1}^n p_i M_{ij} p_j$$

$$\frac{\partial f}{\partial p} = 2Mp \quad \text{et} \quad \frac{\partial g}{\partial p} = 2p$$

Lien avec les valeurs propres

Posons $M = A^T A$. Alors :

$$f(p) = \sum_{i=1}^n \sum_{j=1}^n p_i M_{ij} p_j$$

Comme M est symétrique :

$$\frac{\partial f}{\partial p} = 2Mp \quad \text{et} \quad \frac{\partial g}{\partial p} = 2p$$

On a donc :

$$\frac{\partial f}{\partial p} = \lambda \frac{\partial g}{\partial p} \quad \Rightarrow \quad \boxed{A^T A p = \lambda p}$$

2025-05-18

Reconstruction 3D

└ [

└ Lien avec les valeurs propres

Lien avec les valeurs propres

Posons $M = A^T A$. Alors :

$$f(p) = \sum_{i=1}^n \sum_{j=1}^n p_i M_{ij} p_j$$

Comme M est symétrique :

$$\frac{\partial f}{\partial p} = 2Mp \quad \text{et} \quad \frac{\partial g}{\partial p} = 2p$$

On a donc :

$$\frac{\partial f}{\partial p} = \lambda \frac{\partial g}{\partial p} \quad \Rightarrow \quad \boxed{A^T A p = \lambda p}$$

Lien avec les valeurs propres

Posons $M = A^T A$. Alors :

$$f(p) = \sum_{i=1}^n \sum_{j=1}^n p_i M_{ij} p_j$$

Comme M est symétrique :

$$\frac{\partial f}{\partial p} = 2Mp \quad \text{et} \quad \frac{\partial g}{\partial p} = 2p$$

On a donc :

$$\frac{\partial f}{\partial p} = \lambda \frac{\partial g}{\partial p} \quad \Rightarrow \quad \boxed{A^T A p = \lambda p}$$

C'est une équation aux valeurs propres :

- p est un vecteur propre de $A^T A$
- λ est la valeur propre associée

Reconstruction 3D

2025-05-18
└ [

└ Lien avec les valeurs propres

Lien avec les valeurs propres

Posons $M = A^T A$. Alors :

$$f(p) = \sum_{i=1}^n \sum_{j=1}^n p_i M_{ij} p_j$$

Comme M est symétrique :

$$\frac{\partial f}{\partial p} = 2Mp \quad \text{et} \quad \frac{\partial g}{\partial p} = 2p$$

On a donc :

$$\frac{\partial f}{\partial p} = \lambda \frac{\partial g}{\partial p} \quad \Rightarrow \quad \boxed{A^T A p = \lambda p}$$

C'est une équation aux valeurs propres :

- p est un vecteur propre de $A^T A$
- λ est la valeur propre associée

Triangulation : formulation du système

- P_1 et P_2 déterminées

2025-05-18

Reconstruction 3D

└ [

└ Triangulation : formulation du système

Triangulation : formulation du système

- ▶ P_1 et P_2 déterminées
- ▶ On cherche les coordonnées $X = (x_C, y_C, z_C, 1)^T$

2025-05-18

Reconstruction 3D

└[

└ Triangulation : formulation du système

- ▶ P_1 et P_2 déterminées
- ▶ On cherche les coordonnées $X = (x_C, y_C, z_C, 1)^T$

Triangulation : formulation du système

- ▶ P_1 et P_2 déterminées
- ▶ On cherche les coordonnées $X = (x_C, y_C, z_C, 1)^T$
- ▶ Pour chaque paire (x_1, x_2) de projections

Triangulation : formulation du système

- ▶ P_1 et P_2 déterminées
- ▶ On cherche les coordonnées $X = (x_C, y_C, z_C, 1)^T$
- ▶ Pour chaque paire (x_1, x_2) de projections
- ▶ On élimine λ_1, λ_2 et on écrit un système homogène

2025-05-18

Reconstruction 3D

└[

└ Triangulation : formulation du système

Triangulation : formulation du système

- ▶ P_1 et P_2 déterminées
- ▶ On cherche les coordonnées $X = (x_C, y_C, z_C, 1)^T$
- ▶ Pour chaque paire (x_1, x_2) de projections
- ▶ On élimine λ_1, λ_2 et on écrit un système homogène

Triangulation : formulation du système

- P_1 et P_2 déterminées
- On cherche les coordonnées $X = (x_C, y_C, z_C, 1)^T$
- Pour chaque paire (x_1, x_2) de projections
- On élimine λ_1, λ_2 et on écrit un système homogène
- Système sous la forme $AX = 0$

$$A = \begin{pmatrix} p_{31}^1 u_1 - p_{11}^1 & p_{32}^1 u_1 - p_{12}^1 & p_{33}^1 u_1 - p_{13}^1 & p_{34}^1 u_1 - p_{14}^1 \\ p_{31}^1 v_1 - p_{21}^1 & p_{32}^1 v_1 - p_{22}^1 & p_{33}^1 v_1 - p_{23}^1 & p_{34}^1 v_1 - p_{24}^1 \\ p_{31}^2 u_2 - p_{11}^2 & p_{32}^2 u_2 - p_{12}^2 & p_{33}^2 u_2 - p_{13}^2 & p_{34}^2 u_2 - p_{14}^2 \\ p_{31}^2 v_2 - p_{21}^2 & p_{32}^2 v_2 - p_{22}^2 & p_{33}^2 v_2 - p_{23}^2 & p_{34}^2 v_2 - p_{24}^2 \end{pmatrix}$$



└─ Triangulation : formulation du système

- P_1 et P_2 déterminées
- On cherche les coordonnées $X = (x_C, y_C, z_C, 1)^T$
- Pour chaque paire (x_1, x_2) de projections
- On élimine λ_1, λ_2 et on écrit un système homogène
- Système sous la forme $AX = 0$

$$A = \begin{pmatrix} p_{31}^1 u_1 - p_{11}^1 & p_{32}^1 u_1 - p_{12}^1 & p_{33}^1 u_1 - p_{13}^1 & p_{34}^1 u_1 - p_{14}^1 \\ p_{31}^1 v_1 - p_{21}^1 & p_{32}^1 v_1 - p_{22}^1 & p_{33}^1 v_1 - p_{23}^1 & p_{34}^1 v_1 - p_{24}^1 \\ p_{31}^2 u_2 - p_{11}^2 & p_{32}^2 u_2 - p_{12}^2 & p_{33}^2 u_2 - p_{13}^2 & p_{34}^2 u_2 - p_{14}^2 \\ p_{31}^2 v_2 - p_{21}^2 & p_{32}^2 v_2 - p_{22}^2 & p_{33}^2 v_2 - p_{23}^2 & p_{34}^2 v_2 - p_{24}^2 \end{pmatrix}$$

Algorithme: Décomposition QR via Gram-Schmidt

Entrée: $A \in \mathbb{R}^{m \times n}$

Sortie: $Q \in \mathbb{R}^{m \times n}$, $R \in \mathbb{R}^{n \times n}$ tels que $A = QR$

pour $j \leftarrow 1$ **to** n **faire**

$v_j \leftarrow A_{:,j}$ (*Copie de la $j^{\text{ème}}$ colonne de A *)

pour $i \leftarrow 1$ **to** $j - 1$ **faire**

$R_{i,j} \leftarrow \langle Q_{:,i}, A_{:,j} \rangle$
 $v_j \leftarrow v_j - R_{i,j} Q_{:,i}$

$R_{j,j} \leftarrow \|v_j\|$

si $R_{j,j} > \varepsilon$ **alors**

$Q_{:,j} \leftarrow \frac{v_j}{R_{j,j}}$

sinon

$Q_{:,j} \leftarrow 0$

retourner Q, R

2025-05-18

Reconstruction 3D

[

Algorithme: Décomposition QR via Gram-Schmidt

Entrée: $A \in \mathbb{R}^{m \times n}$

Sortie: $Q \in \mathbb{R}^{m \times n}$, $R \in \mathbb{R}^{n \times n}$ tels que $A = QR$

pour $j \leftarrow 1$ **to** n **faire**

$v \leftarrow A_{:,j}$

pour $i \leftarrow 1$ **to** $j - 1$ **faire**

$R_{i,j} \leftarrow \langle Q_{:,i}, A_{:,j} \rangle$

$v \leftarrow v - R_{i,j} Q_{:,i}$

$R_{j,j} \leftarrow \|v\|$

si $R_{j,j} > \varepsilon$ **alors**

$Q_{:,j} \leftarrow \frac{v}{R_{j,j}}$

sinon

$Q_{:,j} \leftarrow 0$

retourner Q, R

(*Copie de la $j^{\text{ème}}$ colonne de A *)

Algorithme: algorithme QR

Entrée: $B \in \mathbb{R}^{n \times n}$ symétrique

Sortie: Σ^2 , V tels que $B = V\Sigma^2V^T$

$Q_{\text{acc}} \leftarrow I_n$ (*Accumule les produits de Q *)

$\delta \leftarrow 1$, $k_{\text{max}} \leftarrow 1000$, $k \leftarrow 0$

tant que $\delta > 10^{-9}$ **et** $k < k_{\text{max}}$ **faire**

$Q, R \leftarrow$ décomposition QR de B

$B_{\text{nouveau}} \leftarrow R \cdot Q$

$Q_{\text{acc}} \leftarrow Q_{\text{acc}} \cdot Q$

$\delta \leftarrow \sum_i |\text{diag}(B_{\text{nouveau}})_i - \text{diag}(B)_i|$

$A \leftarrow B_{\text{nouveau}}$

$k \leftarrow k + 1$

pour $i = 1$ **à** n **faire**

si $1[i, i] > \varepsilon$ **alors**

$\Sigma^2[i, i] \leftarrow V[i, i]$

sinon

$\Sigma^2[i, i] \leftarrow 0$

retourner Σ^2, Q_{acc}

Reconstruction 3D

[

2025-05-18

```

Algorithme: algorithme QR
Entrée:  $B \in \mathbb{R}^{n \times n}$  symétrique
Sortie:  $\Sigma^2$ ,  $V$  tels que  $B = V\Sigma^2V^T$ 
     $Q_{\text{acc}} \leftarrow I_n$  (*accumule les produits de  $Q$ *)
     $\delta \leftarrow 1$ ,  $k_{\text{max}} \leftarrow 1000$ ,  $k \leftarrow 0$ 
    tant que  $\delta > 10^{-9}$  et  $k < k_{\text{max}}$  faire
         $Q, R \leftarrow$  décomposition QR de  $B$ 
         $B_{\text{nouveau}} \leftarrow R \cdot Q$ 
         $Q_{\text{acc}} \leftarrow Q_{\text{acc}} \cdot Q$ 
         $\delta \leftarrow \sum_i |\text{diag}(B_{\text{nouveau}})_i - \text{diag}(B)_i|$ 
         $A \leftarrow B_{\text{nouveau}}$ 
         $k \leftarrow k + 1$ 
    pour  $i = 1$  à  $n$  faire
        si  $1[i, i] > \varepsilon$  alors
             $\Sigma^2[i, i] \leftarrow V[i, i]$ 
        sinon
             $\Sigma^2[i, i] \leftarrow 0$ 
    retourner  $\Sigma^2, Q_{\text{acc}}$ 

```

Algorithme: SVD via algorithme QR sur $A^T A$

Entrée: $A \in \mathbb{R}^{m \times n}$

Sortie: U, Σ, V tels que $A \approx U \Sigma V^T$

$A^T \leftarrow$ transposée de A

$A^T A \leftarrow A^T \cdot A$ (*Symétrique et définie positive*)

algorithme_QR($A^T A, \Sigma^2, V$) (* Σ^2 diagonale, V orthogonale*)

pour $i \leftarrow 1$ **to** n **faire**

$\sigma^2 \leftarrow \Sigma^2[i, i]$

si $\sigma^2 < 10^{-12}$ **alors**

continuer (*Ignorer valeur singulière nulle*)

$\sigma \leftarrow \sqrt{\sigma^2}$

$\Sigma[i, i] \leftarrow \sigma$ (*Met à jour la vraie valeur singulière*)

$v_i \leftarrow i^{\text{e}}$ colonne de V

$u_i \leftarrow A \cdot v_i$ (* u_i non normalisé*)

$u_i \leftarrow u_i / \sigma$

 normaliser u_i

 insérer u_i comme i^{e} colonne de U

2025-05-18

Reconstruction 3D

[

```

Algorithme: SVD via algorithme QR sur  $A^T A$ 
Entrée:  $A \in \mathbb{R}^{m \times n}$ 
Sortie:  $U, \Sigma, V$  tels que  $A \approx U \Sigma V^T$ 
 $A^T \leftarrow$  transposée de  $A$  (*symétrique et définie positive*)
 $A^T A \leftarrow A^T \cdot A$  (* $\Sigma^2$  diagonale,  $V$  orthogonale*)
algorithme_QR( $A^T A, \Sigma^2, V$ )
pour  $i \leftarrow 1$  to  $n$  faire
     $\sigma^2 \leftarrow \Sigma^2[i, i]$ 
    si  $\sigma^2 < 10^{-12}$  alors
        continuer (*Ignorer valeur singulière nulle*)
     $\sigma \leftarrow \sqrt{\sigma^2}$ 
     $\Sigma[i, i] \leftarrow \sigma$  (*Met à jour la vraie valeur singulière*)
     $v_i \leftarrow i^{\text{e}}$  colonne de  $V$ 
     $u_i \leftarrow A \cdot v_i$  (* $u_i$  non normalisé*)
    normaliser  $u_i$ 
    insérer  $u_i$  comme  $i^{\text{e}}$  colonne de  $U$ 

```